

**УДК 539.376**

## **СТРУКТУРИРОВАНИЕ В НЕИЗОТЕРМИЧЕСКОЙ ЭКСТРУЗИИ КОМПОЗИТНОГО МАТЕРИАЛА<sup>1</sup>**

***Н. А. Беляева, Е. А. Прянишникова***

Представлена структурная неизотермическая математическая модель экструзии композитного материала с использованием обобщенной модели Ньютона. Новизна предложенной модели состоит в совместном рассмотрении реодинамики, кинетики структурирования и температурного факторов.

### **1. Постановка задачи**

Рассмотрим процесс выдавливания предварительно нагретого композитного сжимаемого материала из цилиндрической камеры в направляющий калибр той же формы, но меньшего радиуса (рис.1). Ось симметрии заготовки примем за ось  $z$ , положительное направление которой противоположно движению поршня. Начало координат  $z = 0$  свяжем с центром отверстия основания камеры. Вся область течения, таким образом, разделится на два отдельных участка: движение внутри камеры между перемещающимся поршнем  $z = H(t)$  и выходным отверстием  $z = 0_+$ , и течение внутри калибра между  $z = 0_-$  (входное отверстие в калибр) и свободной поверхностью  $z = -L(t)$ ,  $t$  — время. Возмущениями в обеих областях при переходе из камеры в калибр пренебрегаем. Движение смеси в каждой из областей считаем одномерным с одной ненулевой компонентой скорости  $V_z = V \neq 0$ .

Введем массовые координаты  $(q, t)$ , где  $t$  — реальное время, массовая координата  $q$  имеет смысл относительной массы материала, находящейся между переменным сечением  $z$  и свободной поверхностью  $z = -L(t)$ ,

---

<sup>1</sup>Работа выполнена при финансовой поддержке ФЦП "Научные и научно-педагогические кадры инновационной России" на 2009-2013 годы, ГК № 02.740.11.0618

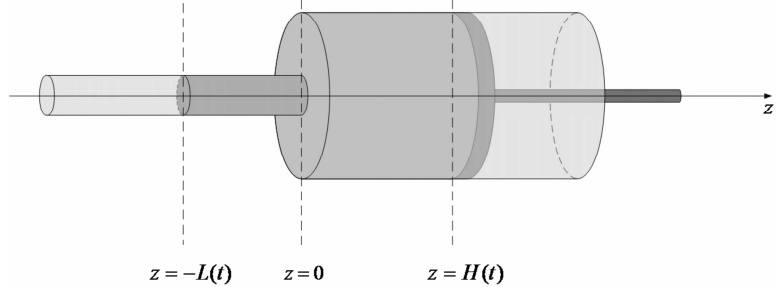


Рис. 1: Модель экструдера

таким образом,

$$q = \frac{M}{S_1 \rho_1} = \int_0^z \rho(s, t) ds + \frac{S_2}{S_1} \int_{-L(t)}^0 \rho(s, t) ds,$$

где  $M$  — масса материала в указанном сечении,  $S_1, S_2$  — площади сечений камеры и калибра, соответственно,  $\rho_1$  — плотность несжимаемой основы материала, при этом плотность структуры определяется произведением  $\rho \cdot \rho_1$ , где  $\rho = \rho(q, t)$  — относительная плотность среды. Для элементарных масс, движущихся в камере, выполняется условие  $q^* \leq q \leq q_0$ , а в калибре  $0 \leq q \leq q^*$ , где  $q^*$  — элементарная масса, находящаяся на отверстии в момент времени  $t$ ,  $q_0$  — массовая координата плунжера.

В рамках рассматриваемого одномерного подхода движение среды полностью определяется системой уравнений:

$$\frac{\partial \rho}{\partial t} + \rho^2 \frac{\partial V}{\partial q} = 0; \quad (1.1)$$

$$\frac{\partial T^1}{\partial t} + V \rho \frac{\partial T^1}{\partial q} = \frac{1}{c \rho_1} \frac{\partial}{\partial q} \left( \rho \lambda(\rho) \frac{\partial T^1}{\partial q} \right) - \frac{2\alpha}{c \rho_1 \rho r_1} (T^1 - T_0); \quad (1.2)$$

$$\frac{\partial T^2}{\partial t} + V \rho \frac{\partial T^2}{\partial q} = \frac{1}{c \rho_1} \rho \lambda(\rho) \frac{\partial^2 T^2}{\partial^2 q} - \frac{2\alpha}{c \rho_1 \rho r_2} (T^2 - T_0); \quad (1.3)$$

$$\frac{\partial a}{\partial t} + V \rho \frac{\partial a}{\partial q} = D \left( \rho^2 \frac{\partial^2 a}{\partial q^2} + \rho \frac{\partial a}{\partial q} \frac{\partial \rho}{\partial q} \right) + k_2 [1 - a - a \chi \exp(p \sigma_{qq})]; \quad (1.4)$$

$$\sigma_{qq} = \left( \frac{4}{3}\mu + \xi \right) \rho \frac{\partial V}{\partial q}; \quad (1.5)$$

$$\sigma_{rr} = \sigma_{\varphi\varphi} = \left( -\frac{2}{3}\mu + \xi \right) \rho \frac{\partial V}{\partial q}; \quad (1.6)$$

начальные и граничные условия:

$$T^1(q, 0) = T^*; \quad (1.7)$$

$$\rho \Big|_{t=0} = \rho_0(q), \quad a \Big|_{t=0} = 0; \quad (1.8)$$

$$\begin{aligned} \rho \lambda(\rho) \frac{\partial T^1}{\partial q} \Big|_{q=q_0} &= -h_1(T^1 - T_0) \Big|_{q=q_0}, \\ \rho \lambda(\rho) \frac{\partial T^2}{\partial q} \Big|_{q=0} &= -h_2(T^2 - T_0) \Big|_{q=0}; \end{aligned} \quad (1.9)$$

$$T^1 \Big|_{q=q^*} = T^2 \Big|_{q=q^*}, \quad -\rho \lambda(\rho) \frac{\partial T^2}{\partial q} \Big|_{q=q^*} = \frac{S_2}{S_1} \rho \lambda(\rho) \frac{\partial T^1}{\partial q} \Big|_{q=q^*}; \quad (1.10)$$

$$V(q_+^*, t) = -\frac{S_2}{S_1} \frac{k_1 |\sigma_{qq}(t)|^m}{\rho_1 \rho(q^*, t)}, \quad V(q_-^*, t) = -\frac{k_1 |\sigma_{qq}(t)|^m}{\rho_1 \rho(q^*, t)}; \quad (1.11)$$

$$\frac{\partial a}{\partial q} \Big|_{q=q_0} = \frac{\partial a}{\partial q} \Big|_{q=q^*} = 0; \quad (1.12)$$

$$\sigma_{qq} \Big|_{q=q_0} = \sigma_0. \quad (1.13)$$

Здесь (1.1) — уравнение неразрывности,  $V = V(q, t)$  — скорость течения материала; (1.1), (2.2) — уравнения теплопроводности в камере и калибре, соответственно,  $T^1$  — температура в камере,  $T^2$  — в калибре,  $c$  — теплоемкость материала,  $\lambda = \lambda(\rho)$  — коэффициент теплопроводности вещества,  $\alpha$  — коэффициент теплообмена через боковые стенки [5]; (2.3) — диффузионно-кинетическое уравнение относительно степени структурирования среды  $a = a(q, t)$ . Соотношения (3.4), (3.5) —

дифференциальные уравнения состояния вследствие обобщенной модели Ньютона. Здесь  $\mu = \mu(a, \rho, T) = \mu_0 \exp(-\beta(T - T^*) - k(1 - a))\rho^l$  и  $\xi = \xi(a, \rho, T) = 4/3 \mu(a, \rho, T)(1 - \rho)^{-1}$  — сдвиговая и объемная вязкости. В начальный момент времени задана температура материала (3), распределение плотности и степени структуризации (4.6). Теплообмен с окружающей средой через плунжер и свободную поверхность выдавленного в калибр стержня учитывается условиями (5.7). Соотношения (5.8) означают непрерывность температурного поля и равенство тепловых потоков в камере и калибре на отверстии. Границные условия (1.11) — следствие закона гидравлического сопротивления отверстия — определяют скорость материала на отверстии в камере и калибре, соответственно. Левая часть соотношения (1.12) означает непроникновение вещества через плужер, а правая — отсутствие изменения структуры материала при переходе из камеры в калибр; (1.13) — условие заданного напряжения на плунжере.

## 2. Определение параметров течения

Система (1.1) — (1.13) допускает частично аналитическое решение, а именно, удается выписать формулы для плотности (2.14) и скорости (2.15) в камере в виде квадратур:

$$\rho(q, t) = \rho_0 \exp \left( - \int_0^t \frac{\sigma_{qq}(\tau)}{\frac{4}{3}\mu(q, \tau) + \xi(q, \tau)} d\tau \right), q^* \leq q \leq q_0; \quad (2.14)$$

$$V(q, t) = V(q^*, t) + \sigma_{qq}(t) \int_{q^*}^q \frac{ds}{\rho(s, t) \left( \frac{4}{3}\mu(s, t) + \xi(s, t) \right)}, \quad (2.15)$$

$$q^* \leq q \leq q_0.$$

Доуплотнения материала в калибре не происходит, поэтому в области  $0 \leq q \leq q^*$ , соответствующей калибру, плотность зависит лишь от массовой координаты  $q$ :

$$\rho(q) = \rho_0(q) \exp \left( - \int_0^{t^*} \frac{\sigma_{qq}(\tau)}{\frac{4}{3}\mu(q, \tau) + \xi(q, \tau)} d\tau \right).$$

Здесь  $t^*$  — момент прохождения указанной массы через отверстие.

Выдавленный в калибр стержень движется с переменной скоростью того элементарного объема, который в рассматриваемый момент времени находится на отверстии. Указанная скорость определяется из закона сопротивления отверстия (1.11) и имеет вид

$$V(q_-, t) = -\frac{k_1 |\sigma_{qq}(t)|^m}{\rho_1 \rho(q^*, t)}.$$

Длина выдавленного в калибр стержня находится по формуле

$$L(t) = \int_0^t V(q^*, \tau) d\tau,$$

где  $V(q^*, \tau)$  — скорость элементарного объема, находящегося на отверстии в момент времени  $\tau$ .

Степень структуризации и температура экструдируемого материала определяются численно с использованием метода прогонки. Для реализации указанного метода уравнения (1.1) — (2.3), начальные и граничные условия (3) — (5.8), (1.12) заменим разностными соотношениями [6]:

$$\begin{aligned} \frac{T_{ij}^1 - T_{i,j-1}^1}{\Delta t_j} + \rho_{ij} V_{i,j} \frac{T_{ij}^1 - T_{i-1,j}^1}{\Delta q} &= \frac{1}{c\rho_1} \left[ \lambda_{ij} \frac{\rho_{ij} - \rho_{i-1,j}}{\Delta q} \frac{T_{ij}^1 - T_{i-1,j}^1}{\Delta q} + \right. \\ &\quad \left. + \rho_{ij} \frac{\lambda_{ij} - \lambda_{i-1,j}}{\Delta q} \frac{T_{ij}^1 - T_{i-1,j}^1}{\Delta q} + \rho_{ij} \lambda_{ij} \frac{T_{i+1,j}^1 - 2T_{ij}^1 + T_{i-1,j}^1}{(\Delta q)^2} \right] - \frac{2\alpha}{c\rho_1 r_2 \rho} (T_{ij}^1 - T_0), \\ i * +1 \leq i \leq n, j \geq 1; \\ \frac{T_{ij}^2 - T_{i,j-1}^2}{\Delta t_j} + \rho_{ij} V_{i,j} \frac{T_{ij}^2 - T_{i-1,j}^2}{\Delta q} &= \frac{1}{c\rho_1} \rho_{ij} \lambda_{ij} \frac{T_{i+1,j}^2 - 2T_{ij}^2 + T_{i-1,j}^2}{(\Delta q)^2} - \\ &\quad - \frac{2\alpha}{c\rho_1 r_2 \rho} (T_{ij}^2 - T_0), 1 \leq i \leq i * - 1, j \geq 1; \\ T_{i*,j}^1 = T_{i*,j}^2, j \geq 1; \\ \rho_{nj} \lambda_{nj} \frac{T_{nj}^1 - T_{n-1,j}^1}{\Delta q} &= -h_1 (T_{nj}^1 - T_0), j \geq 1; \\ \rho_{0j} \lambda_{0j} \frac{T_{1j}^2 - T_{0,j}^2}{\Delta q} &= h_2 (T_{0,j}^2 - T_0), j \geq 1; \\ \frac{T_{i*,j}^2 - T_{i*-1,j}^2}{\Delta q} &= -\frac{S_2}{S_1} \frac{T_{i*+1,j}^2 - T_{i*,j}^2}{\Delta q}, j \geq 1; \end{aligned}$$

$$\begin{aligned}
& \frac{a_{ij} - a_{i,j-1}}{\Delta t_j} + V_{ij}\rho_{ij} \frac{a_{ij} - a_{i-1,j}}{\Delta q} = D \left( \rho_{ij}^2 \frac{a_{i+1,j} - 2a_{ij} + a_{i-1,j}}{(\Delta q)^2} + \right. \\
& \quad \left. + \rho_{ij} \frac{a_{ij} - a_{i-1,j}}{\Delta q} \frac{\rho_{ij} - \rho_{i-1,j}}{\Delta q} \right) + k_2 [1 - a_{ij} - a_{ij} \exp(p\sigma_{qq})], \\
& i*+1 \leq i \leq n, j \geq 1; \\
& a_{i0} = 0, i* \leq i \leq n; \\
& \frac{a_{nj} - a_{n-1,j}}{\Delta q} = 0, \frac{a_{i*+1,j} - a_{i*,j}}{\Delta q} = 0, j \geq 1.
\end{aligned}$$

### 3. Некоторые результаты численного эксперимента

Численное решение задачи, результаты которого представлены ниже в виде графиков, выполнено с использованием программы, разработанной в среде *Delphi* 7.0. Соответствующие значения параметров:  $q_0 = 0.04$  м,  $r_1 = 0.2$  м,  $\rho_1 = 1500$  кг/м<sup>3</sup>;  $\rho_0 = 0.5$  кг/м<sup>3</sup>,  $\rho_m = 0.7$  кг/м<sup>3</sup> — начальные значения плотности на отверстии и плунжере, соответственно;  $D = 10^{-5}$  м/с<sup>2</sup> — коэффициент диффузии,  $p = 0.02$  Па<sup>-1</sup> — константа, характеризующая интенсивность процесса деформации связей,  $\mu_0 = 10^9$  Па · с — вязкость несжимаемой основы материала,  $\chi = 10^{-5}$  — отношение констант скоростей разрушения и восстановления структуры,  $k_1 = 0.05$  с<sup>-1</sup> — коэффициент пропорциональности закона сопротивления отверстия,  $k_2 = 0.011$  с<sup>-1</sup> — константа скорости восстановления структуры,  $k_a = -3$  — коэффициент пропорциональности в экспоненциальной зависимости вязкости от степени структуризации,  $m = 1/3$  — степенная зависимость закона сопротивления отверстия,  $\sigma_0 = -5 \cdot 10^7$  Па,  $\lambda_0 = 20$  Вт/(К · м),  $T'_0 = 293$  К — температура окружающей среды,  $T^* = 2000$  К — начальная температура заготовки,  $c = 1000$  Дж,  $\alpha = -0.25 \cdot 10^{-2}$  К<sup>-1</sup>,  $\beta = 0,01$  К<sup>-1</sup> — коэффициент пропорциональности в экспоненциальной зависимости сдвиговой вязкости от температуры,  $h_1 = 12$ ,  $h_2 = 80$  К<sup>-1</sup> — константы, характеризующие теплообмен на плунжере и свободной поверхности выдавленного стержня. В начальный момент времени плотность материала распределена линейно

$$\rho_0(q) = \rho_0 + (\rho_m - \rho_0) \frac{q}{q_0}.$$

Предполагается, что на плунжере задано возрастающее усилие

$$\sigma_{qq} = \sigma_0 \left( 2 - \frac{1}{1+t} \right).$$

Оценивается влияние степени структурирования, температуры на динамику параметров процесса. Для этого рассматриваются следующие зависимости сдвиговой (и, следовательно, объемной) вязкости:

$$\mu = \mu_0 \exp(-k_a(1-a)) \rho^4, \quad (3.16)$$

$$\mu = \mu_0 \exp(-\beta(T - T^*)) \rho^4, \quad (3.17)$$

$$\mu = \mu_0 \exp(-\beta(T - T^*) - k_a(1-a)) \rho^4, \quad (3.18)$$

учитывающие прямое влияние степени структуризации среды (3.16), температуры (3.17) и их суммарное влияние (3.18). Приведенные гра-

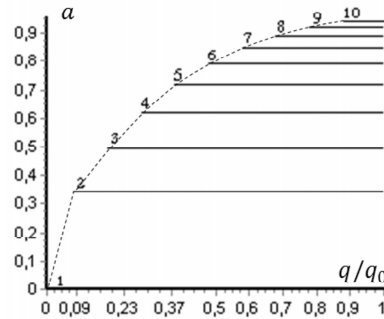


Рис. 2: Массово-временное распределение степени структуризации  $a = a(q, t)$  в камере

фики массово-временного распределения параметров процесса соответствуют моментам времени  $t(c)$ : 1(0), 2(3,82), 3(6,26), 4(8,83), 5(11,52), 6(14,29), 7(17,15), 8(20,08), 9(25,99), 10(29,03).

В работе [4] аналитически показано, что в случае большой вязкости экструдируемой среды (в данном случае  $\mu = 10^9$ ) распределение степени структурирования будет иметь в каждый момент времени однородный характер, что подтверждается численными экспериментами и в рассматриваемой работе (рис. 2). Пунктиром показано распределение степени структуризации в калибре. Наиболее структурированными оказываются элементарные массы, прилежащие к плунжеру. Массово-временное распределение температуры, представленное на рис. 3, показывает ее существенное изменение вследствие наличия теплообмена через боковые стенки, плунжер и свободную поверхность выдавленного

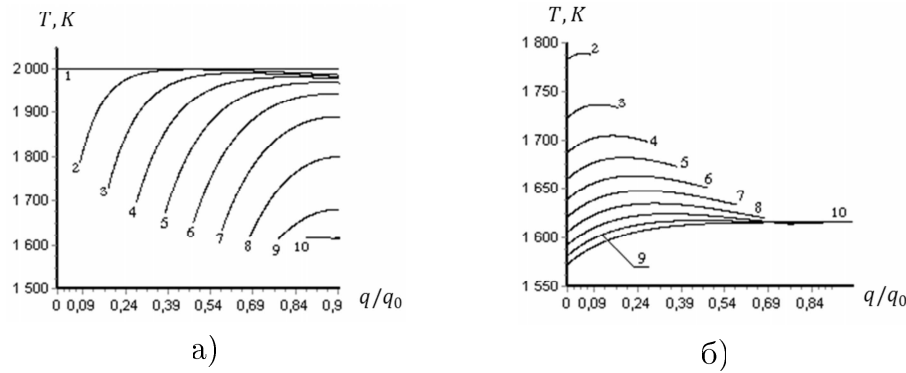


Рис. 3: Массово-временное распределение температуры  $T = T(q, t)$  :  
а) — в камере, б) — в калибре;

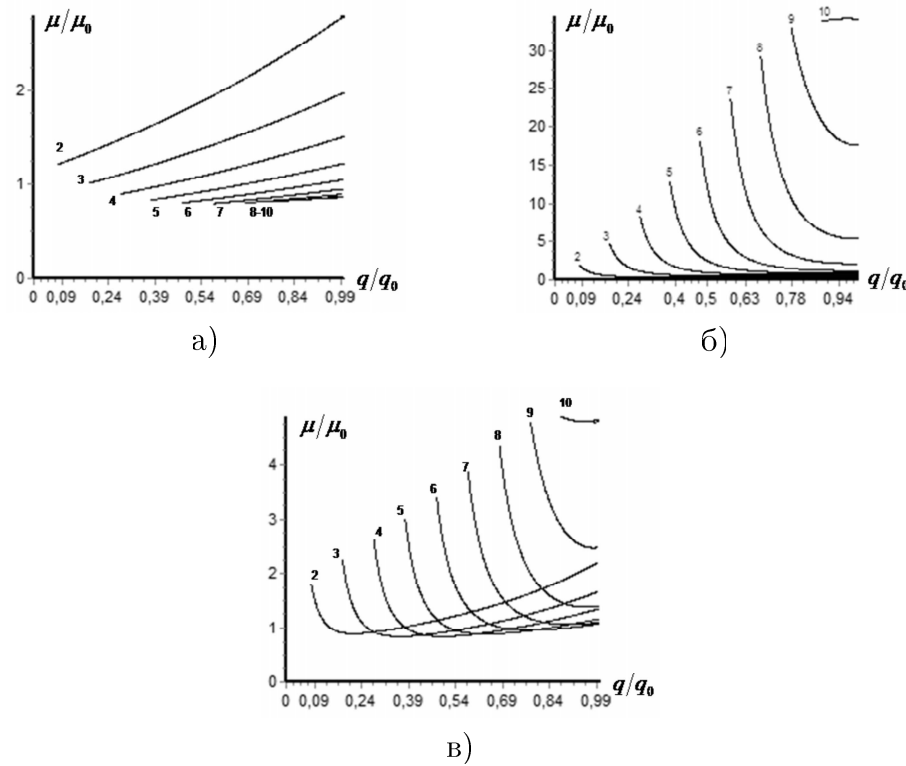


Рис. 4: Массово-временное распределение относительной сдвиговой вязкости  $\mu/\mu_0$  в камере; вычисление вязкости  $\mu = \mu(q, t)$  по формулам (3.16), (3.17), (3.18)

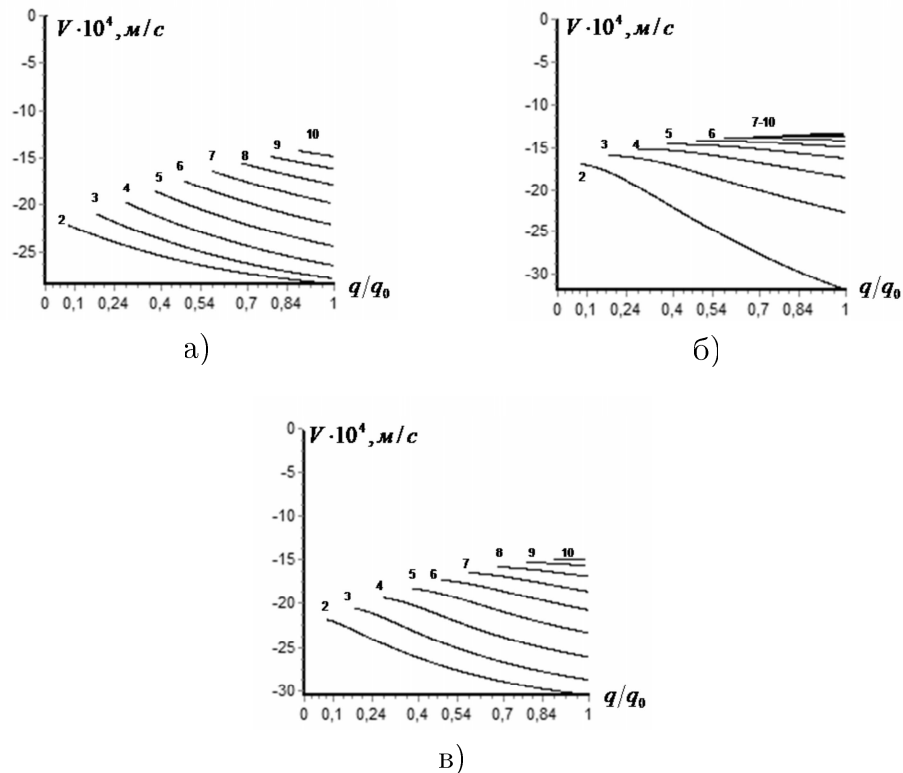


Рис. 5: Массово-временное распределение скорости  $V = V(q, t)$  в камере; вычисление по формулам (3.16), (3.17), (3.18)

стержня. В соответствии с выбранными зависимостями (3.16) — (3.18) на рис. 4 представлено изменение вязкости, а на рис. 6 — плотности экструдируемой композиции. Однородное распределение степени структурирования среды объясняет характер изменения вязкости на рис. 4а — почти линейные подобные кривые, плотности (рис. 6а) — распределение подобно начальному линейному распределению. Значительные неоднородные изменения температурного поля приводят к существенно нелинейному распределению вязкости (рис. 4б) и, соответственно, плотности материала (рис. 6б).

Суммарное влияние структурного и температурного факторов (3.18) приводит к уменьшению вязкости (рис. 4) по сравнению со случаем (3.17) (рис. 4б), выравниванию кривых плотности, более медленному уплотнению экструдируемой композиции (рис. 6в).

Характер изменения вязкости отражается и на поведении скорости

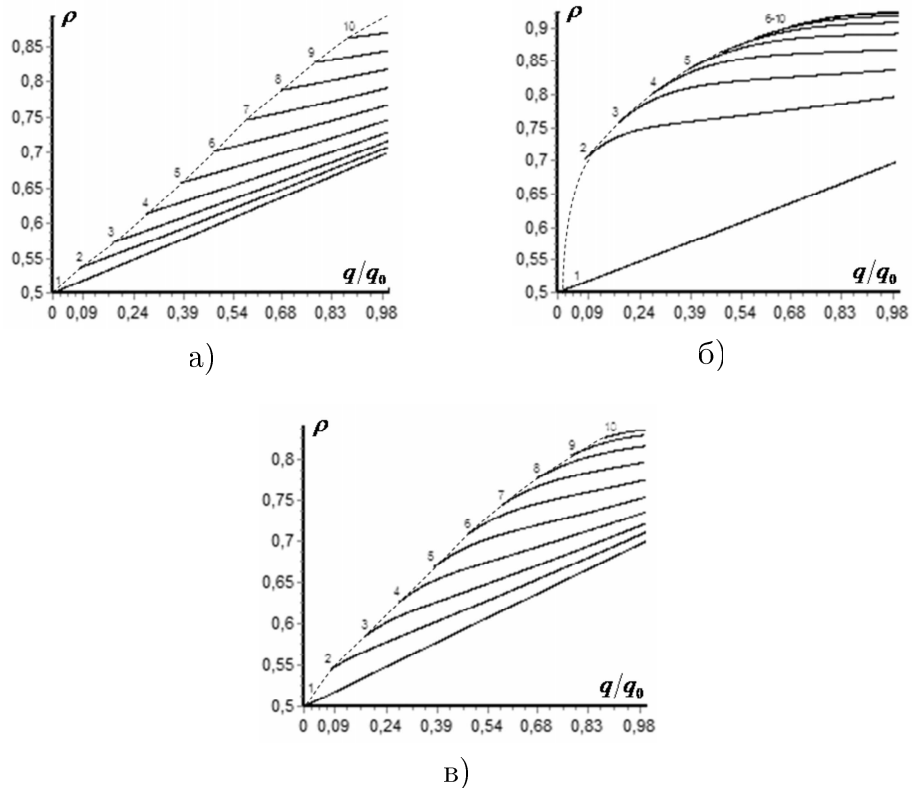


Рис. 6: Массово-временное распределение плотности  $\rho = \rho(q, t)$  в камере; вычисление по формулам (3.16), (3.17), (3.18)

текущей среды (рис. 5). Одновременный учет структурного и температурного факторов (рис. 5в) приводит к быстрому выравниванию скоростей большей части элементарных масс (за исключением масс вблизи отверстия) – наблюдается выход на режим выдавливания близкий к однородному. Кроме того, выдавливание в калибр основной части материала происходит со значительно большей по величине скоростью, по сравнению со скоростями, соответствующими вязкости (3.16), (3.17) — рис. 5а,б.

Данная модель и результаты численного анализа были представлены на Всероссийской [8] и международной конференциях [9].

В заключение следует отметить, что в представленной модели, являющейся развитием структурного подхода к рассмотрению процессов деформирования материалов, оценивается влияние на свойства формируемых изделий не только температурного фактора, но и подтвержда-

ется необходимость учета изменения структуры деформируемой среды. Последнее очень важно для развития современной реологии: объектом деформирования является вязкий сжимаемый композитный материал.

## Литература

1. **Беляева Н. А.** Математические модели деформируемых структурированных материалов. Монография. — Сыктывкар: Издательство СыктГУ, 2008. — 116 с.
2. **Беляева Н. А., Стельмах Л. С., Столин А. М.** Динамика твердофазной плунжерной экструзии вязкоупругого структурированного материала // *Теоретические основы химической технологии*. — 2008. — № 5. — С. 579–589.
3. **Беляева Н. А., Стельмах Л. С., Пугачев Д. В., Столин А. М** Неустойчивые режимы деформирования при твердофазной экструзии вязкоупругих структурированных систем // *ДАН*. — 2008. — Т. 420, № 6. — С. 579–589.
4. Беляева Н. А. Влияние характерных времен на режимы твердофазной экструзии // *Вестник Сыктывкарского университета. Сер 1. Вып. 9. 2009. С. 46–53.*
5. **Стельмах Л. С., Жиляева Н. Н., Столин А. М.** Реодинамика и теплообмен горячего компактирования порошковых материалов // *ИФЖ*. — 1992. — Т. 63, № 5. — С. 612–622.
6. **Самарский А. А.** Теория разностных схем. — М: Наука, 1983. — 616 с.
7. **Беляева Н. А.** Деформирование вязкоупругих материалов с изменяющейся структурой // *Вестник Сыктывкарского университета. Сер 1. Вып. 11. 2010. С. 52–75.*
8. **Беляева Н. А., Прянишникова Е. А.** Неизотермическая математическая модель экструзии вязкоупругого структурированного материала // *Труды седьмой Всероссийской научной конференции с международным участием «Математическое моделирование и краевые задачи», 3–6 июня 2010 г., г. Самара: Самарский государственный технический университет. С. 281–283.*

9. **Беляева Н. А.** Неизотермическая модель экструзии структурированного композитного материала // Труды международной научно-технической конференции «Нанотехнологии функциональных материалов (НФМ'10)», 22-24 сентября 2010 г., Санкт-Петербург: Издательство Политехнического университета. С. 537–539.
10. **Прянишникова Е. А., Беляева Н. А.** Структурная неизотермическая математическая модель экструзии сжимаемого композитного материала. Федеральная служба по интеллектуальной собственности, патентам и товарным знакам РФ, Реестр программ для ЭВМ. Свидетельство о государственной регистрации программ для ЭВМ № 2010614082, 19 октября 2010 г.

**Summary**

Belyaeva N. A., Pryanishnikova E. A. Granularity in a nonisothermal extrusion composite material

The structural mathematical model of non-isothermal extrusion of a composite material using a generalized model of Newton is presented. The novelty of the proposed model is the joint consideration of Reo-Dimamics, kinetics of structuring and temperature factor.

Сыктывкарский государственный университет

Поступила 15.09.2010